

**Méthodes mathématiques  
et modélisation de l'environnement (M3E)**

**Résolution numérique des  
équations différentielles ordinaires (EDO)**

2020–2021

Jacques.Lefrere@upmc.fr

**Table des matières**

<b>1 Dérivation</b>	<b>6</b>
1.1 Rappels : définition et propriétés . . . . .	6
1.2 Dérivation numérique : erreurs de troncature et d'arrondi . . . . .	7
1.2.1 Erreur d'estimation associée . . . . .	9
1.2.2 Estimation de l'erreur de troncature . . . . .	10
1.2.3 Rappel : domaine et précision des réels en virgule flottante . . . . .	12
1.2.4 Caractéristiques numériques des flottants sur 32 et 64 bits . . . . .	16
1.2.5 Estimation de l'erreur d'arrondi . . . . .	17
1.2.6 Comparaison des erreurs . . . . .	18
1.2.7 Influence de la précision . . . . .	19
1.2.8 Influence du nombre de termes . . . . .	20

M3E

1

2020-2021

EDO

TABLE DES MATIÈRES

TABLE DES MATIÈRES

EDO

TABLE DES MATIÈRES

TABLE DES MATIÈRES

1.3 Plus généralement... . . . .	22
<b>2 Rappels sur les EDO</b>	<b>23</b>
2.1 Définition, terminologie . . . . .	23
2.2 Classification des EDO et résolution analytique . . . . .	24
2.2.1 EDO à variables séparables du 1 <sup>er</sup> ordre . . . . .	24
2.2.2 EDO linéaires du 1 <sup>er</sup> ordre . . . . .	25
2.2.3 EDO linéaires du 2 <sup>e</sup> ordre à coefficients constants . . . . .	28
<b>3 Résolution numérique des EDO</b>	<b>30</b>
3.1 Problème différentiel . . . . .	30
3.2 Deux types de problèmes différentiels à résoudre . . . . .	31
3.3 Équations différentielles scalaires du 1 <sup>er</sup> ordre . . . . .	32
3.4 Unicité et problème bien posé : conditions suffisantes . . . . .	33

3.5 Méthodes de résolution numérique et notations . . . . .	34
<b>4 Méthodes à un pas</b>	<b>36</b>
4.1 Méthodes du premier ordre . . . . .	37
4.1.1 Méthode d'Euler progressive (explicite) . . . . .	37
4.1.2 Méthode d'Euler rétrograde (implicite) . . . . .	39
4.2 Méthodes du deuxième ordre . . . . .	42
4.2.1 Méthode du point milieu . . . . .	42
4.2.2 Méthode d'Euler modifiée . . . . .	44
4.3 Méthodes de Runge Kutta . . . . .	48
4.3.1 Méthode de Runge Kutta d'ordre 3 . . . . .	48
4.3.2 Méthode de Runge Kutta d'ordre 4 . . . . .	49
4.4 Erreur absolue en fonction du pas et de l'ordre . . . . .	50

4.5 Exemple de l'équation logistique . . . . . 51

4.5.1 Erreurs en fonction du temps . . . . . 53

4.5.2 Erreur totale maximale en simple précision en fonction du pas . 58

4.5.3 Erreur totale maximale en double précision en fonction du pas . 59

4.5.4 Comparaison des erreurs maximales simple/double précision . 60

4.5.5 Méthodes de prédicteur correcteur . . . . . 61

**5 Les EDO du premier ordre en pratique 62**

5.1 Structure des codes . . . . . 62

5.2 Échelles de temps et problèmes raides . . . . . 63

5.3 Validation des résultats . . . . . 64

5.4 Cas d'un second membre défini par intervalles . . . . . 65

**6 Systèmes d'EDO du 1<sup>er</sup> ordre 66**

6.1 Méthodes scalaires explicites . . . . . 66

6.2 Application des méthodes implicites aux vecteurs . . . . . 68

6.3 Outils disponibles sous python . . . . . 69

6.4 Implémentation vectorielle . . . . . 71

6.5 Équations de Lotka-Volterra . . . . . 72

**7 Équations différentielles d'ordre supérieur 76**

7.1 Exemple d'EDO linéaire d'ordre 2 avec forçage . . . . . 77

7.2 Exemple d'EDO d'ordre 2 : le pendule . . . . . 78

7.3 Stabilité à long terme avec Euler progressive et rétrograde . . . . . 85

# 1 Dérivation

## 1.1 Rappels : définition et propriétés

Définition

$$f'(t) = \frac{df}{dt}(t) = \lim_{h \rightarrow 0} \frac{f(t+h) - f(t)}{h} \tag{1}$$

Quelques dérivées usuelles ( $a = \text{constante}$ )

$f(t)$	$t^a$	$\ln t+a $	$\exp(at)$	$\sin(at)$	$\cos(at)$
$f'(t)$	$at^{a-1}$	$1/(t+a)$	$a \exp(at)$	$a \cos(at)$	$-a \sin(at)$

Linéarité :  $(f + g)' = f' + g'$   $(af(t))' = af'(t)$

Dérivation et composition de fonctions

$$h(t) = f[g(t)] \implies h'(t) = g'(t) \times f'[g(t)]$$

## 1.2 Dérivation numérique : erreurs de troncature et d'arrondi

**Objectif** : estimer numériquement la **dérivée première**  $f'(t)$  d'une fonction  $f$  en  $t$  à partir des échantillons de la fonction  $f$  aux instants  $t + ih$ , où  $h$  est le pas d'échantillonnage de  $f$ .

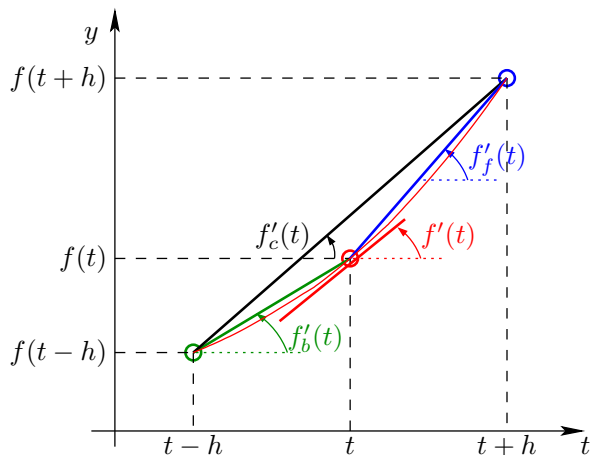
Plusieurs approximations de  $f'(t)$  ou schémas aux différences finies envisageables. Les plus simples sont **les schémas à deux termes** :

$$f'_b(t) = \frac{f(t) - f(t-h)}{h} \quad \text{schéma arrière } \textit{backward}$$

$$f'_f(t) = \frac{f(t+h) - f(t)}{h} \quad \text{schéma avant } \textit{forward}$$

$$f'_c(t) = \frac{f(t+h) - f(t-h)}{2h} \quad \text{schéma centré } \textit{centered}$$

Préférer le schéma aux différences finies **centré**



**Schémas de dérivation aux différences finies à 2 termes**

$f'_f$  avant

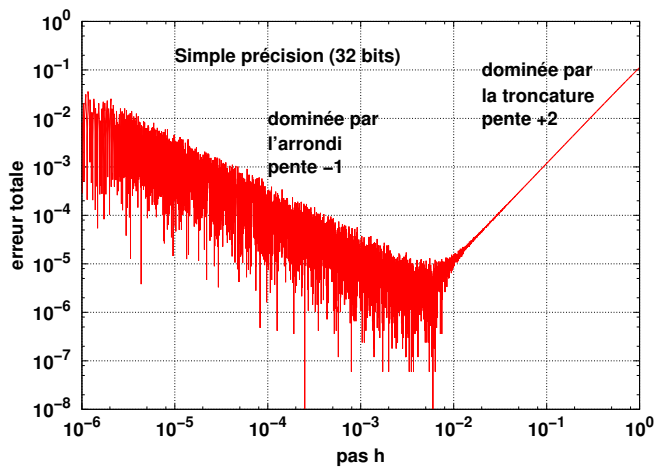
$f'_b$  arrière

$f'_c$  centré

**1.2.1 Erreur d'estimation associée**

L'erreur d'estimation,  $f'_c(t) - f'(t)$  pour le schéma centré, comporte deux contributions qui (au pire) s'ajoutent en valeur absolue :

- l'**erreur systématique de troncature** déterministe de valeur absolue  $e_t$  liée au **nombre fini de termes** dans l'estimateur (2 termes dans ce schéma).  
Dérivation théorique  $\iff$  multiplication par  $i\omega$  dans l'espace de Fourier  
Dérivation numérique centrée à 2 termes  $\implies \times i \sin(\omega h)/h$   
qui n'est proche de  $i\omega$  que pour  $h \rightarrow 0$ .  
 $e_t$  croît quand  $h$  croît
- l'**erreur aléatoire d'arrondi** de valeur absolue  $e_a$  liée à la précision de la **représentation approximative des flottants** en machine et essentiellement due au calcul de la différence faible de deux termes proches.  
 $e_a$  croît quand  $h$  décroît



**1.2.2 Estimation de l'erreur de troncature**

Développement en série de Taylor avec reste de  $f(t \pm h)$  au deuxième ordre autour de  $t$  :

$$f(t + h) = f(t) + h \frac{df}{dt}(t) + \frac{h^2}{2} \frac{d^2f}{dt^2}(t) + \frac{h^3}{6} \frac{d^3f}{dt^3}(t + \theta h)$$

$$f(t - h) = f(t) - h \frac{df}{dt}(t) + \frac{h^2}{2} \frac{d^2f}{dt^2}(t) - \frac{h^3}{6} \frac{d^3f}{dt^3}(t - \theta' h)$$

où  $\theta$  et  $\theta'$  sont dans l'intervalle  $[0, 1]$ .

Estimateur centré à 2 termes de la dérivée :

$$\frac{f(t + h) - f(t - h)}{2h} = f'(t) + \frac{h^2}{12} [f'''(t + \theta h) + f'''(t - \theta' h)]$$

Erreur absolue de troncature liée à la dérivée troisième :

$$e_t \approx \frac{h^2}{6} |f'''(t)|$$

FIGURE 1: **Erreur totale**  $e$  de l'estimateur centré à 2 termes de la dérivée première de la fonction sinus en  $t = \pi/4$  en fonction du pas  $h$  **en échelle log-log**.

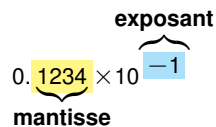
### 1.2.3 Rappel : domaine et précision des réels en virgule flottante

Représentation approchée des réels en **virgule flottante** pour concilier grande **dynamique et précision relative** presque constante.

Par exemple **en base 10**, avec 4 chiffres après la virgule, comparer les représentations approchées (par troncature) en virgule fixe et flottante :

nombre exact	virgule fixe	virgule flottante
	par troncature	
0.0000123456789	<b>⚠</b> .0000	$0.1234 \times 10^{-4}$
0.000123456789	.0001	$0.1234 \times 10^{-3}$
0.00123456789	.0012	$0.1234 \times 10^{-2}$
0.0123456789	.0123	$0.1234 \times 10^{-1}$
0.123456789	.1234	$0.1234 \times 10^0$
1.23456789	1.2345	$0.1234 \times 10^1$
12.3456789	12.3456	$0.1234 \times 10^2$

Virgule flottante en base 10



**En binaire**, nombre de bits réparti entre **mantisse** (partie fractionnaire) et **exposant**

—  $m$  bits de **mantisse**  $\Rightarrow$  **précision limitée**

—  $q$  bits de l'**exposant**  $\Rightarrow$  **domaine fini**

Ajouter 1 bit de signe  $\Rightarrow$  nombre de bits =  $m + q + 1$

— À exposant (puissance de 2) fixé : **progression arithmétique** dans chaque octave  $\Rightarrow 2^m$  valeurs par octave

$\epsilon =$  la plus petite valeur telle que  $1 + \epsilon > 1$  donc  $1 + \epsilon =$  successeur de 1  
 $\epsilon$  est le pas des flottants dans l'octave  $[1, 2[ \Rightarrow \epsilon = 1/2^m$

Précision relative  $\leq \epsilon = 1/2^m$

Flottants sur 64 bits :  $m =$  **52 bits de mantisse**  $\Rightarrow \epsilon = 2^{-52} \approx 10^{-15}/4$

— Octaves en **progression géométrique** de raison 2

$q$  bits d'exposant  $\Rightarrow 2^q - 2$  octaves (+ codes non numériques)

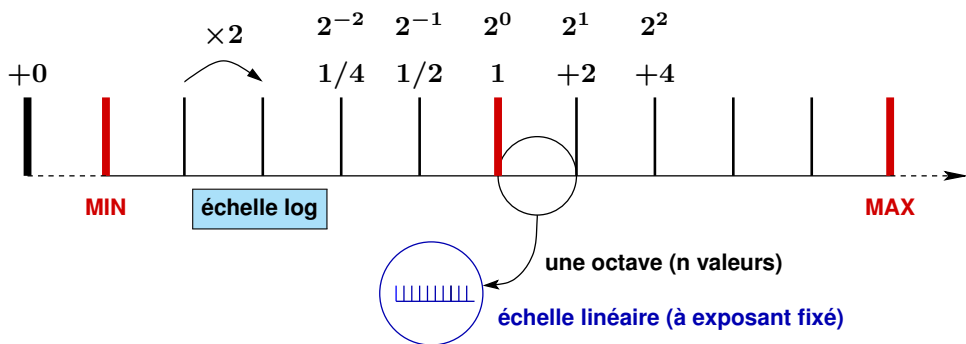
Flottants sur 64 bits :  $q =$  **11 bits d'exposant** donc **2046 octaves**

**Domaine** : MAX  $\approx 2^{1024} \approx 1,8 \times 10^{308}$  et MIN  $\approx 2^{-1022} \approx 2,2 \times 10^{-308}$

#### Domaine des flottants fixé par le nombre de bits $q$ de l'exposant

En virgule flottante, les octaves sont en **progression géométrique de raison 2** :

Nombre d'octaves  $\approx 2^q$ , réparties presque symétriquement autour de 1.

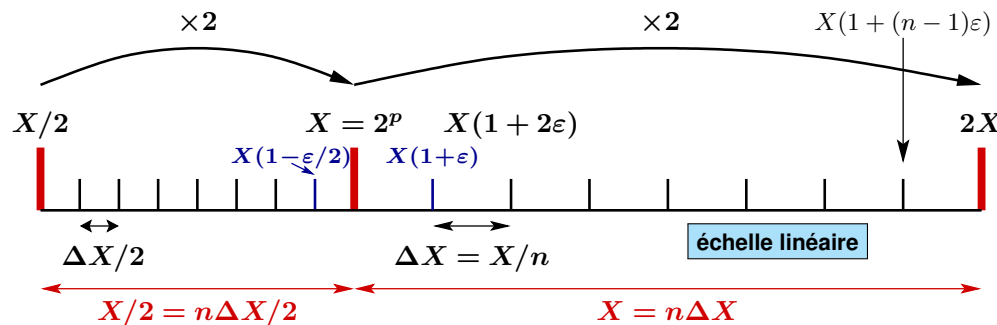


Domaine des flottants positifs normalisés (**échelle log**)

#### Précision des flottants fixée par le nombre de bits $m$ de la mantisse

Dans chaque octave  $[2^p, 2^{p+1}[ = [X, 2X[$ , l'exposant est constant

$\Rightarrow n = 2^m$  flottants en **progression arithmétique** de pas  $\Delta X = X/n = \epsilon X$



Exemple représenté ici : deux octaves de flottants positifs avec mantisse sur  $m=3$  bits

$n = 2^m = 2^3 = 8$  intervalles et aussi 8 valeurs par octave

### 1.2.4 Caractéristiques numériques des flottants sur 32 et 64 bits

Interrogation via `numpy.finfo(type).attribut`

Le type par défaut des réels est `float`, ou encore `numpy.float64`.

voir norme IEEE 754-2008		type	
attribut	signification	<code>numpy.float32</code>	<code>numpy.float64</code>
<b>bits</b>	nombre de bits	32 bits	64 bits
<b>nmant</b>	nb de bits de la mantisse	23 bits	52 bits
<b>nexp</b>	nb de bits de l'exposant	8 bits	11 bits
<b>max</b>	valeur maximale	$3,4 \times 10^{38}$	$1,8 \times 10^{308}$
<b>tiny</b>	minimum positif	$1,18 \times 10^{-38}$	$2,2 \times 10^{-308}$
<b>eps</b>	précision relative	$2^{-23} \approx 1,2 \times 10^{-7}$	$2^{-52} \approx 2,2 \times 10^{-16}$

### 1.2.6 Comparaison des erreurs pour schéma centré à 2 termes

#### Erreur d'arrondi

$$e_a \propto h^{-1}$$

Pente en log-log **-1**  
Dominante pour  $h$  faible

#### Erreur de troncature

$$e_t \propto h^2$$

Pente en log-log **+2**  
Dominante pour  $h$  grand

Majorant de l'erreur absolue totale  $e$

$$e \leq \frac{\varepsilon |f(t)|}{h} + \frac{h^2}{6} |f'''(t)| = e_m$$

Les deux erreurs varient en sens inverse selon le pas  $h$

⇒ **compromis** nécessaire pour minimiser la somme des erreurs

$$\text{Pas optimal } \tilde{h} = \sqrt[3]{3\varepsilon \left| \frac{f(t)}{f'''(t)} \right|} \Rightarrow e(\tilde{h}) = |f(t)| \sqrt[3]{\frac{9\varepsilon^2}{8} \left| \frac{f'''(t)}{f(t)} \right|}$$

### 1.2.5 Estimation de l'erreur d'arrondi

Chacun des termes de la différence est représenté avec une **précision relative**  $\varepsilon$  imposée par le nombre de bits de la mantisse du type de flottant.

— Simple précision : flottants sur 32 bits dont 23 de mantisse  
 $\varepsilon = 2^{-23} \approx 1,2 \cdot 10^{-7}$  donné par `numpy.finfo(numpy.float32).eps`

— Double précision : flottants sur 64 bits dont 52 de mantisse  
 $\varepsilon = 2^{-52} \approx 2,2 \cdot 10^{-16}$  cas des flottants par défaut sous python  
 $\varepsilon$  donné par `numpy.finfo(float).eps` c'est-à-dire `numpy.finfo(numpy.float64).eps`

Erreur absolue d'arrondi sur  $f(t \pm h)$  :

$$|\delta_a f(t+h)| \approx |\delta_a f(t-h)| \leq \varepsilon |f(t)|$$

Erreur absolue d'arrondi sur  $f'_c(t)$  majorée par  $e_a$  :

$$|\delta_a f'_c(t)| = \frac{|\delta_a [f(t+h) - f(t-h)]|}{2h} \leq e_a = \frac{2\varepsilon |f(t)|}{2h}$$

### 1.2.7 Influence de la précision : réduction de l'erreur d'arrondi

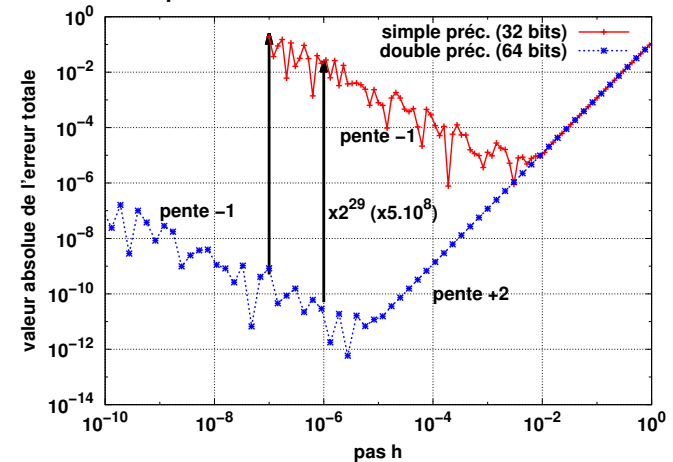


FIGURE 2: Erreur totale (valeur absolue)  $|e|$  en simple et double précision de l'estimateur à 2 termes de la dérivée première en fonction du pas  $h$  en échelle log-log.

### 1.2.8 Influence du nombre de termes sur l'erreur de troncature

Objectif : éliminer les termes en  $h^3$  dans le développement de Taylor de  $f$  en compensant  $h^3 f^{(3)}(t)$  issu des points à  $\pm h$  par  $(2h)^3 f^{(3)}(t) = 8h^3 f^{(3)}(t)$  issu des points à  $\pm 2h$  avec une pondération relative de  $-1/8$ .

Schéma aux différences finies **centré à quatre termes**

pour estimer la dérivée première d'une fonction  $f$  :

$$f'(t) \approx f_{c4}(t) = \frac{-f(t+2h) + 8f(t+h) - 8f(t-h) + f(t-2h)}{12h}$$

Les termes en puissances paires de  $h$  se compensent par symétrie

Erreur de troncature issue du terme en  $h^5 f^{(5)}$  dans le développement de  $f$  donc :

$$e_t \propto h^4$$

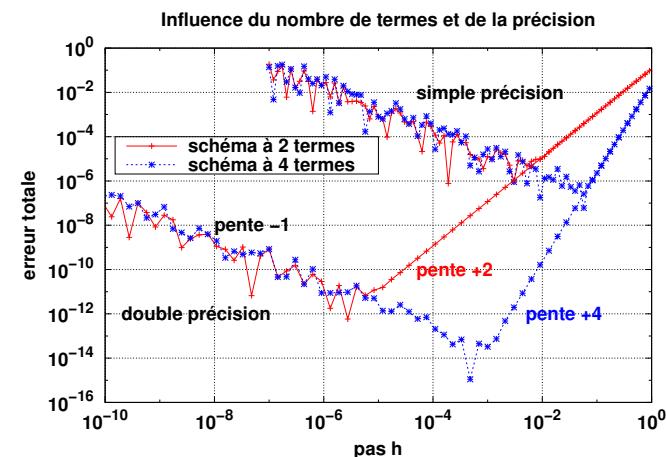


FIGURE 3: Erreur totale  $e$  des estimateurs à deux termes (rouge) et à quatre termes (bleu) de la dérivée première pour les précisions 32 et 64 bits en fonction du pas  $h$ .

### 1.3 Plus généralement...

**Schémas d'ordre supérieur** Passer d'un schéma à 2 termes à un schéma à 4 termes **améliore nettement l'erreur de troncature**, qui varie en  $h^4$  au lieu de  $h^2$ .

L'erreur d'arrondi augmente mais très peu.

À précision des réels donnée, l'optimum est obtenu pour un pas plus grand et l'erreur totale est plus faible. Le schéma à 4 termes est donc préférable.

#### Dérivées d'ordre $n$

$$y^{(n)} = \frac{d^n y}{dt^n} = \frac{d}{dt} \left( \frac{d^{n-1} y}{dt^{n-1}} \right) = \frac{dy^{(n-1)}}{dt}$$

Les schémas aux différences finies pour la dérivée d'ordre  $n$

- présentent une **erreur d'arrondi** en  $h^{-n}$
- mais leur **erreur de troncature** dépend du nombre de termes utilisés, par ex. en  $h^2$  pour une dérivée seconde avec un schéma centré à 3 termes.

## 2 Rappels sur les EDO

### 2.1 Définition, terminologie

EDO = **Équations Différentielles Ordinaires** : équations faisant intervenir des dérivées successives de la fonction recherchée et des fonctions de la variable indépendante (ici  $t$ ).

NB. : EDP = Équations aux Dérivées Partielles avec plusieurs variables indépendantes (ex :  $x, y$  pour les coordonnées dans un plan et  $t$  pour le temps).

Dans le cas explicite, une EDO d'ordre  $n$  se met sous la forme :

$$\frac{d^n y}{dt^n} = f \left( t, y, \frac{dy}{dt}, \dots, \frac{d^{n-1} y}{dt^{n-1}} \right)$$

où  $f$ , connue, est appelée le **second membre**.

Une EDO d'ordre  $n$  possède une famille de solutions  $y(t)$  à  $n$  paramètres.

EDO d'ordre 1 :

$$\frac{dy}{dt} = f(t, y)$$

Les solutions ne dépendent que d'un paramètre, souvent la condition initiale  $y(t_0)$ .

**Résoudre une EDO** = trouver les fonctions  $y$  de la variable indépendante  $t$  qui vérifient l'EDO.

## 2.2 Classification des EDO et résolution analytique

### 2.2.1 EDO à variables séparables du 1<sup>er</sup> ordre

Les EDO du 1<sup>er</sup> ordre **séparables** peuvent se mettre sous la forme

$$a(y)y' = b(t) \quad \text{soit} \quad a(y) dy = b(t) dt \quad (2)$$

Si on connaît des primitives  $A(y)$  et  $B(t)$  de  $a(y)$  et  $b(t)$ , les solutions vérifient

$$A(y) = B(t) + k \quad \text{où } k \text{ est une constante}$$

est séparable, donc facilement soluble si on connaît une primitive de  $a$ .

De la linéarité, on déduit une propriété essentielle pour la résolution :

La solution générale de l'EDO «avec second membre» est la somme de la solution générale de l'EDO sans second membre et d'une solution particulière de l'EDO avec second membre. En pratique, la difficulté sera souvent de trouver **une** solution particulière de l'EDO avec second membre.

#### Recherche par «variation de la constante» :

L'EDO homogène s'écrit  $y'/y = a(t)$ . Elle s'intègre en  $y = C^{\text{ste}} e^{A(t)}$  où  $A$  est une primitive de  $a$  donc  $A'(t) = a(t)$ .

Rechercher une solution de l'EDO avec second membre sous la forme

$$y(t) = \lambda(t)e^{A(t)}$$

$$y'(t) = \lambda'(t)e^{A(t)} + \lambda(t)a(t)e^{A(t)}$$

**Exemple** Croissance ou extinction de population, désintégration radioactive...

$$\frac{dy}{y} = \pm \frac{dt}{\tau}$$

qui s'intègre en  $\ln |y| = \pm t/\tau + k$  soit  $|y| = k' \exp(\pm t/\tau)$

La constante  $k'$  est fixée par la condition initiale  $y(t_0)$ , donc

$$y(t) = y(t_0) \exp(\pm(t - t_0)/\tau)$$

### 2.2.2 EDO linéaires du 1<sup>er</sup> ordre

Une **EDO linéaire du 1<sup>er</sup> ordre** peut se mettre sous la forme

$$y'(t) - a(t)y(t) = b(t)$$

L'EDO **homogène** associée, dite «sans second membre»  $b$ ,

$$y'(t) = a(t)y(t)$$

L'EDO prend la forme

$$y' - ay = b(t) = \lambda'(t)e^{A(t)} \quad \text{soit} \quad \lambda'(t) = b(t)e^{-A(t)}$$

$$\text{D'où} \quad \lambda(t) = \int_{t_0}^t b(u)e^{-A(u)} du$$

La solution particulière s'écrit donc

$$y(t) = e^{A(t)} \int_{t_0}^t b(u)e^{-A(u)} du$$

Et la solution générale de l'EDO

$$y(t) = e^{A(t)} \left[ C^{\text{ste}} + \int_{t_0}^t b(u)e^{-A(u)} du \right]$$

Reste à trouver une primitive de  $b(u)e^{-A(u)}$ ...

### Autre méthode sur un exemple

Décroissance d'une population avec apports externes périodiques

$$\frac{dy}{dt} = -\frac{y}{\tau} + b \sin \omega t$$

La solution générale peut ici se décomposer en une composante transitoire, en  $\exp(-t/\tau)$ , qui disparaît au bout de quelques constantes de temps, plus une solution sinusoïdale permanente de réponse au forçage. On peut choisir cette dernière comme solution particulière.

### 2.2.3 EDO linéaires du 2<sup>e</sup> ordre à coefficients constants

EDO linéaire 2<sup>e</sup> ordre à coefficients  $a$ ,  $b$ , et  $c$  constants :

$$ay'' + by' + cy = d(t)$$

où  $d(t)$  est parfois appelé l'excitation ou forçage.

**Équation homogène  $d = 0$**  : En recherchant des solutions (dites **libres**) sous la forme de combinaisons linéaires d'exponentielles  $e^{rt}$ , où  $r$  est une constante éventuellement complexe, on obtient l' **équation caractéristique**

$$ar^2 + br + c = 0$$

Elle permet de discuter la nature des solutions selon le signe de  $\Delta = b^2 - 4ac$ .

—  $\Delta > 0$  donc deux solutions réelles  $r_1$  et  $r_2$

$$y(t) = \lambda_1 e^{r_1 t} + \lambda_2 e^{r_2 t}$$

—  $\Delta = 0$  donc une solution double  $r_0$

$$y(t) = e^{r_0 t} [\lambda_1 + \lambda_2 t]$$

—  $\Delta < 0$  donc deux solutions complexes conjuguées  $r = \alpha \pm i\beta$

$$y(t) = e^{\alpha t} [\lambda_1 \cos(\beta t) + \lambda_2 \sin(\beta t)]$$

## 3 Introduction à la résolution numérique des EDO

### 3.1 Problème différentiel

— équation différentielle scalaire d'ordre  $n$

$$\frac{d^n y}{dt^n} = f\left(t, y, \frac{dy}{dt}, \dots, \frac{d^{n-1}y}{dt^{n-1}}\right)$$

où  $f$  est la fonction second membre donnée

⇒ **famille** de solutions  $y(t)$  à  $n$  paramètres

— ensemble de  $n$  conditions imposées

⇒ choix d' **une** solution dans la famille

### 3.2 Deux types de problèmes différentiels à résoudre

— Conditions initiales données pour une seule valeur  $t_0$  de  $t$ , par exemple

$$y(t_0) = y_0, \quad y'(t_0) = y'_0, \dots, \quad y^{(n-1)}(t_0) = y_0^{(n-1)}$$

Problème de **conditions initiales** ou de **Cauchy**

— Conditions données pour des valeurs distinctes de la variable indépendante  $t$ , par exemple :

$$y(t_0) = y_0, \quad y(t_1) = y_1, \dots, \quad y(t_{n-1}) = y_{n-1}$$

Problème de **conditions aux limites** (non traité, sauf problème de tir).

### 3.3 Équations différentielles scalaires du 1<sup>er</sup> ordre

Étudier d'abord les équations différentielles scalaires **du premier ordre**.

⇒ **famille de solutions**  $y(t)$  à **un** paramètre ( $y_0$ )

$$\frac{dy}{dt} = f(t, y(t)) \text{ avec } y(t_0) = y_0 \text{ condition initiale}$$

**Résolution numérique** approchée sur l'intervalle  $[t_0, t_0 + L]$  de longueur  $L$

⇒ approximation  $u_i = u(t_i) \approx y(t_i)$  en  $n$  instants  $t_0 < t_i \leq t_n = t_0 + L$ .

Les EDO d'ordre supérieur se ramènent à des systèmes différentiels couplés du premier ordre (EDO vectorielles du premier ordre).

### 3.5 Méthodes de résolution numérique et notations

**Discretisation** par découpage de l'intervalle de longueur  $L$  selon un pas constant  $h$

**Échantillonnage** de la solution aux instants  $t_i = t_0 + ih$  pour  $1 \leq i \leq n$ .

Solution numérique :  $u_i =$  approximation de  $y(t_i)$

À partir de la **condition initiale**  $u_0 = y(t_0)$  imposée,

faire une **boucle** sur les abscisses  $t_i$  pour calculer l'approximation  $u_{i+1}$  à  $t_{i+1}$

→ approximer ainsi **de proche en proche** la solution sur l'intervalle  $L$ .

⇒ accumulation des erreurs dans la boucle

À chaque pas de la boucle, pour calculer  $u_{i+1}$ , on peut s'appuyer :

- sur **la dernière valeur** calculée  $u_i$  : **méthodes à un pas**
- sur **plusieurs valeurs**  $u_{i-k}$  ( $k \geq 0$ ) antérieurement calculées : **méthodes à plusieurs pas** (initialisation nécessaire par méthode à un pas)

### 3.4 Unicité et problème bien posé : conditions suffisantes

La **condition de Lipschitz**

$$|f(t, y_2) - f(t, y_1)| \leq K |y_2 - y_1| \tag{3}$$

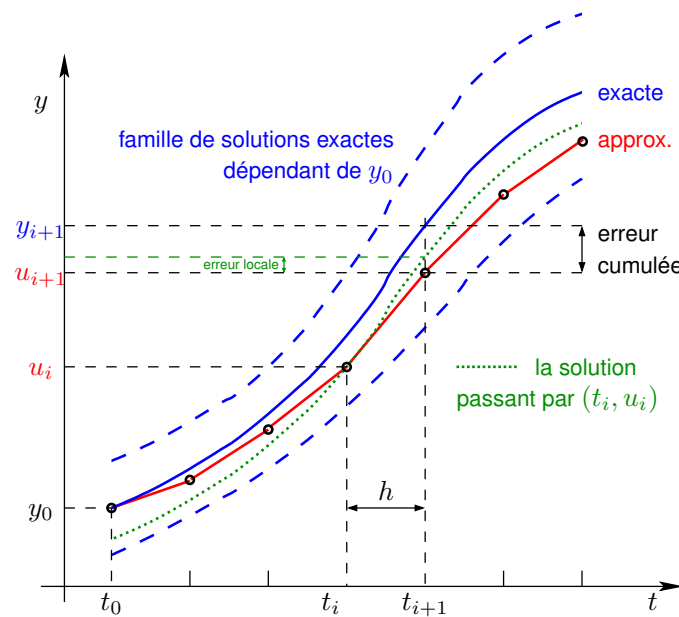
assure l'**unicité** de la solution.

$$\left| \frac{\partial f}{\partial y}(t, y) \right| \leq K \text{ dans un domaine convexe} \tag{4}$$

⇒ condition de Lipschitz vérifiée.

⚠ Les erreurs d'arrondi amènent à **toujours résoudre un problème perturbé**.

**Problème bien posé** si : le problème faiblement perturbé (second membre ou condition initiale) possède une solution proche de celle du problème original. La condition de Lipschitz assure que le problème est bien posé.



**Méthode à pas constant**

Découpage de l'intervalle de longueur  $L$  selon un pas fixe  $h = L/n$ .

$u_i =$  approximat. de  $y(t_i)$

Un pas :  
 $t_i \rightarrow t_{i+1}$   
 $u_i \rightarrow u_{i+1}$

## 4 Méthodes à un pas

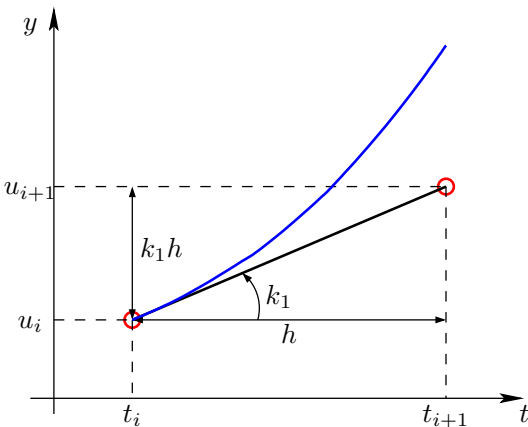
Constituent l'algorithme de base qui permet d'estimer la valeur de la solution à l'instant  $t_{i+1} = t_i + h$ , connaissant seulement  $u_i$ , celle à  $t_i$ .

La valeur à estimer peut être approchée par un développement limité de Taylor :

$$y(t_i + h) = y(t_i) + h \frac{dy}{dt}(t_i) + \frac{h^2}{2} \frac{d^2y}{dt^2}(t_i) + \dots \quad (5)$$

**Ordre  $n$**  de la méthode = plus grande puissance de  $h$  prise en compte dans l'approximation.

- Somme des **termes négligés** = **erreur de troncature locale**  $\propto h^{n+1}$  déterministe, augmente si le pas  $h$  augmente et si l'ordre de la méthode diminue
  - **Précision finie des opérations** sur les réels  $\Rightarrow$  **erreur d'arrondi** aléatoire augmente lorsque les calculs se compliquent, en particulier si le pas  $h$  diminue.
- Indépendamment du coût (en temps de calcul) des opérations, et des cas où la fonction est tabulée, **ne pas croire que diminuer le pas améliore toujours** la qualité du résultat : un **compromis** doit être trouvé entre ces deux types d'erreurs.



### Méthode d'Euler

Méthode **explicite** qui ne nécessite qu'une seule évaluation de la fonction second membre  $f$  par pas :

$$k_1 = f(t_i, u_i)$$

facilement **instable**

$$\frac{u_{i+1} - u_i}{h} = f(t_i, u_i)$$

voir dérivée avant

## 4.1 Méthodes du premier ordre

### 4.1.1 Méthode d'Euler progressive (explicite)

Méthode du premier ordre d'intérêt pédagogique, à éviter en pratique

$$u_{i+1} = u_i + hf(t_i, u_i) \quad (6)$$

#### Exemple : stabilité

$$\frac{dy}{dt} = -\frac{y}{\tau} \Rightarrow \text{solution analytique } y = y_0 e^{-t/\tau} \Rightarrow y_n = y_0 (e^{-h/\tau})^n$$

$$u_{i+1} = u_i - \frac{h}{\tau} u_i \Rightarrow \text{solution numérique } u_n = y_0 (1 - h/\tau)^n$$

Si  $\tau > 0$ , la solution exacte vérifie  $y(\infty) = 0$ ,

Mais pour l'approximation,  $u_n \rightarrow 0 \iff |1 - h/\tau| < 1 \iff 0 < h < 2\tau$ .

Condition de **stabilité** :  $h < 2\tau$  (pas  $h$  petit)

Mais, si  $h > \tau$ , alors  $(1 - h/\tau) < 0$  : alternance de signe de la solution  $u_n$ .

### 4.1.2 Méthode d'Euler rétrograde (implicite)

$$u_{i+1} = u_i + hf(t_{i+1}, u_{i+1}) \quad (7)$$

Méthode **implicite** : **résolution itérative**, plus difficile à mettre en œuvre, sauf si la forme de  $f(t, u)$  permet le calcul analytique de  $u_{i+1}$  à partir de l'équation (7).

Avantage : meilleure **stabilité** que la méthode progressive explicite.

#### Exemple : stabilité

$$\frac{dy}{dt} = -\frac{y}{\tau} \Rightarrow \text{solution analytique } y = y_0 e^{-t/\tau} \Rightarrow y_n = y_0 (e^{-h/\tau})^n$$

$$u_{i+1} = u_i - \frac{h}{\tau} u_{i+1} \Rightarrow \text{solution numérique } u_{i+1} = \frac{u_i}{1 + h/\tau}$$

$$u_n = \frac{y_0}{(1 + h/\tau)^n}$$

Si  $\tau > 0$ ,  $y(\infty) = 0$ , et aussi  $u_n \rightarrow 0 \quad \forall \tau > 0, \forall h > 0$  solution **stable**

**Mise en œuvre de la méthode d'Euler rétrograde : résolution par itération de l'équation implicite**  $u_{i+1} = u_i + hf(t_{i+1}, u_{i+1})$

Itérer l'application  $g$  pour rechercher son **point fixe** où  $v = g(v)$

$$v'_2 = g(v_2) = u_i + hf(t_2, v_2)$$

Ce point fixe est la solution de l'équation implicite.

- Utilise plusieurs évaluations du second membre, sans calcul de ses dérivées.
- Très peu d'itérations nécessaires

**Initialisation** par le prédicteur avec Euler progressif

$$t_2 = t_i + h$$

$$k_1 = f(t_i, u_i)$$

$$v_2 = u_i + hk_1$$

## 4.2 Méthodes du deuxième ordre

Première idée : augmenter le nombre de termes du développement de Taylor : rarement utilisé, car nécessite l'évaluation des dérivées partielles de  $f$ .

$$\frac{dy}{dt} = f(t, y(t)) \quad \Rightarrow \quad \frac{d^2y}{dt^2} = \frac{\partial f}{\partial t} + \frac{\partial f}{\partial y} \frac{dy}{dt} = \frac{\partial f}{\partial t} + f \frac{\partial f}{\partial y} \quad (10)$$

Préférer utiliser **plusieurs évaluations du second membre**  $f$  en des points adaptés.

Centrer l'évaluation de la **dérivée au point milieu**  $t_m = (t_i + t_{i+1})/2$ .

$$y(t_i + h) = y(t_m) + \frac{h}{2} \frac{dy}{dt}(t_m) + \frac{1}{2} \frac{h^2}{4} \frac{d^2y}{dt^2}(t_m) + O(h^3) \quad (11a)$$

$$y(t_i) = y(t_m) - \frac{h}{2} \frac{dy}{dt}(t_m) + \frac{1}{2} \frac{h^2}{4} \frac{d^2y}{dt^2}(t_m) + O(h^3) \quad (11b)$$

Par différence, (approximation locale parabolique, voir aussi dérivée centrée à 2 termes)

$$y(t_i + h) - y(t_i) = h \frac{dy}{dt}(t_m) + O(h^3)$$

**Boucle** pour recherche du point fixe de  $g(v_2) = v'_2 = u_i + hf(t_2, v_2)$

$$k_2 = f(t_2, v_2)$$

$$v'_2 = u_i + hk_2$$

$$\delta v_2 = v'_2 - v_2$$

$$\text{arrêt si } |\delta v_2|^2 \leq \alpha^2 |v_2|^2 \quad (\alpha \text{ petit})$$

$$v_2 = v'_2$$

La fonction  $g$  est **contractante** si  $|g'(v_2)| = h \left| \frac{\partial f}{\partial v_2} \right| \leq 1$ ,

Si la majoration  $\left| \frac{\partial f}{\partial v_2} \right| \leq K$  (souvent invoquée pour assurer la condition de Lipschitz) est vérifiée,  $g$  est contractante si le pas  $h$  est assez faible.

Critère d'arrêt : choisir  $\alpha$  faible, mais  $\alpha > \varepsilon$ .

### 4.2.1 Méthode du point milieu

Nécessite l'évaluation du second membre  $f$  en 2 points :

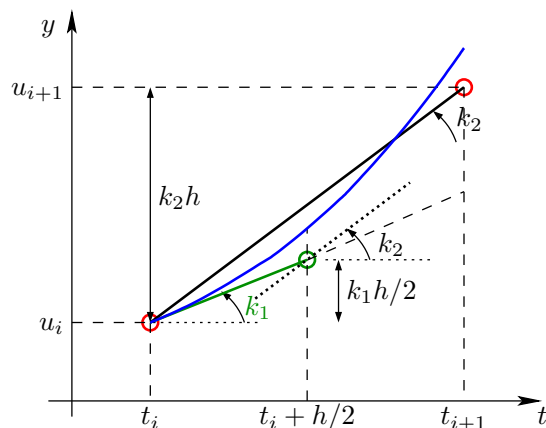
en  $(t_i, u_i)$  et **au milieu**  $(t_{i+1/2} = t_i + h/2, u_{i+1/2})$  d'un pas (hors grille).

$$u_{i+1} = u_i + hf \left( t_i + \frac{h}{2}, u_i + \frac{h}{2} f(t_i, u_i) \right)$$

$$k_1 = f(t_i, u_i) \quad (12a)$$

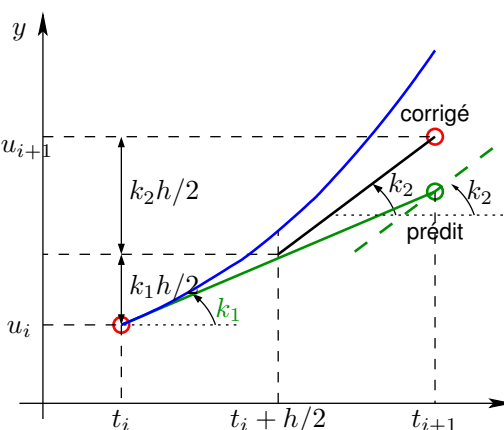
$$(u_{i+1/2} \text{ calculé via Euler}) \quad k_2 = f \left( t_i + \frac{h}{2}, u_i + k_1 \frac{h}{2} \right) \quad (12b)$$

$$u_{i+1} = u_i + hk_2 \quad (12c)$$



### Méthode du point milieu

Méthode **explicite** qui nécessite deux évaluations du second membre par pas dont une hors grille.



### Méthode d'Euler modifiée

Méthode **explicite** qui nécessite deux évaluations de la fonction par pas en des points de la grille.

En appliquant 11a et 11b à la dérivée et en faisant la somme, on peut remplacer la dérivée au milieu par la **moyenne des dérivées aux extrémités** de l'intervalle (voir méthode de quadrature dite des trapèzes) :

$$\frac{dy}{dt}(t_i) + \frac{dy}{dt}(t_{i+1}) = 2 \frac{dy}{dt}(t_m) + O(h^2)$$

D'où une approximation n'utilisant pas la valeur de  $f$  au point milieu  $t_m$  :

$$u_{i+1} = u_i + \frac{h}{2} [f(t_i, u_i) + f(t_{i+1}, u_{i+1})]$$

De nouveau, méthode a priori **implicite**, plus stable, mais plus lourde.

⇒ Contournement du problème en utilisant l'approximation d'Euler explicite (voir 6) pour évaluer  $u_{i+1}$  intervenant dans  $f$ .

$$u_{i+1} = u_i + \frac{h}{2} [f(t_i, u_i) + f(t_{i+1}, u_i + hf(t_i, u_i))]$$

Bilan : méthode de type **prédicteur-correcteur** équivalent à

- un demi-pas avec la pente initiale  $k_1$
- et un demi-pas avec la pente  $k_2$  du point prédit par Euler progressif.

$$k_1 = f(t_i, u_i) \quad (13a)$$

$$k_2 = f(t_{i+1}, u_i + k_1 h) \quad (13b)$$

$$u_{i+1} = u_i + \frac{h}{2} [k_1 + k_2] \quad (13c)$$

### Remarques

- deuxième ordre comme point milieu mais sans évaluation hors grille
- la résolution de l'équation implicite peut se faire en itérant la correction jusqu'à ce qu'elle devienne négligeable (voir Euler rétrograde avec  $g' = \frac{h}{2} \frac{\partial f}{\partial y}$ ).

### 4.3 Méthodes de Runge Kutta

Plus généralement, avec  $r$  évaluations de  $f$ , on peut atteindre une méthode d'ordre  $r$  si  $r \leq 4$ . Pour atteindre l'ordre 5, six évaluations sont nécessaires.

⇒ la méthode de Runge Kutta d'ordre 4 est très utilisée.

#### 4.3.1 Méthode de Runge Kutta d'ordre 3

$$k_1 = f(t_i, u_i) \quad (14a)$$

$$k_2 = f\left(t_i + \frac{h}{2}, u_i + k_1 \frac{h}{2}\right) \quad (14b)$$

$$k_3 = f(t_i + h, u_i + (2k_2 - k_1)h) \quad (14c)$$

$$u_{i+1} = u_i + (k_1 + 4k_2 + k_3) \frac{h}{6} \quad (14d)$$

#### 4.3.2 Méthode de Runge Kutta d'ordre 4

$$k_1 = f(t_i, u_i) \quad (15a)$$

$$k_2 = f\left(t_i + \frac{h}{2}, u_i + k_1 \frac{h}{2}\right) \quad (15b)$$

$$k_3 = f\left(t_i + \frac{h}{2}, u_i + k_2 \frac{h}{2}\right) \quad (15c)$$

$$k_4 = f(t_i + h, u_i + k_3 h) \quad (15d)$$

$$u_{i+1} = u_i + (k_1 + 2k_2 + 2k_3 + k_4) \frac{h}{6} \quad (15e)$$

### 4.4 Erreur absolue en fonction du pas et de l'ordre

nombre de pas =  $L/h$  ⇒ erreur globale  $\sim$  erreur locale  $\times L/h$

TABLE 1: Erreur de **troncature seule**

Méthode	ordre	erreur locale	erreur globale
Euler explicite	1	$\propto h^2$	$\propto h$
Point milieu – Euler modifiée	2	$\propto h^3$	$\propto h^2$
Runge-Kutta 3	3	$\propto h^4$	$\propto h^3$
Runge-Kutta 4	4	$\propto h^5$	$\propto h^4$

Erreur d'**arrondi** locale indépendante de  $h$  ⇒ erreur d'arrondi globale  $\propto 1/h$

### 4.5 Exemple de l'équation logistique

$$\frac{dy}{dt} = ay \left(1 - \frac{y}{k}\right) \quad (16)$$

Par séparation des variables, puis décomposition en éléments simples, elle s'écrit

$$a dt = \frac{dy}{y(1 - y/k)} = \frac{dy}{y} + \frac{dy}{k - y}$$

Par intégration des trois termes :

$$at + \text{constante} = \ln |y| - \ln |k - y|$$

On identifie la constante en supposant qu'à l'instant initial  $t_0$ ,  $0 < y_0 = y(t_0) < k$ .

La solution analytique se met sous la forme :

$$y(t) = \frac{k}{1 + \frac{k - y_0}{y_0} \exp(-a(t - t_0))} \quad (17)$$

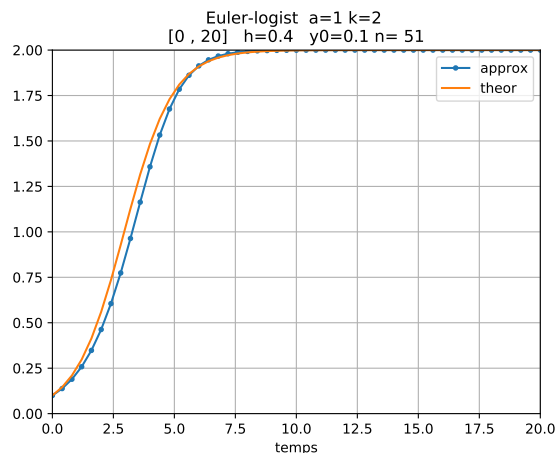


FIGURE 4: Solution analytique et approximation par la méthode d'Euler avec un pas  $h = 0.4$  de l'équation logistique pour  $t_0 = 0$ ,  $y(t_0) = 0.1$ ,  $a = 1$  et  $k = 2$ .

#### 4.5.1 Erreurs en fonction du temps

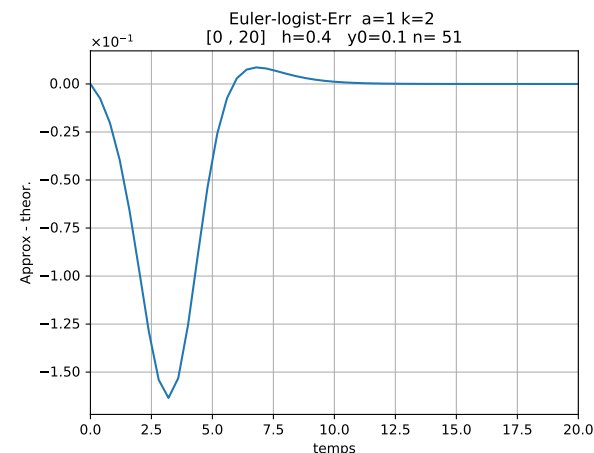


FIGURE 5: Erreur dans l'intégration de l'équation logistique avec la méthode d'Euler progressive avec  $h = 0.4$ . L'allure régulière montre que l'**erreur de troncature** domine. L'erreur de troncature locale (0,163 max) est liée à la courbure de la solution.

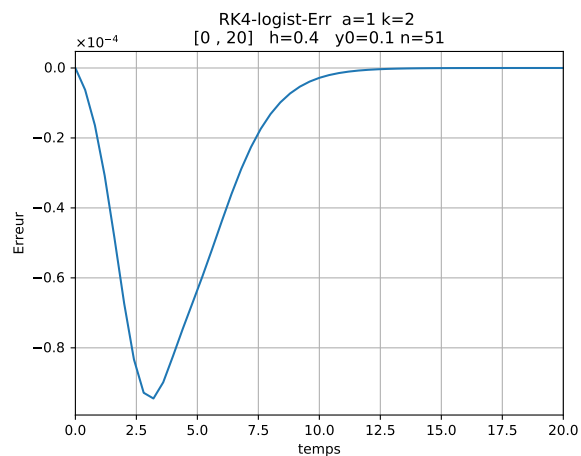


FIGURE 6: Erreur dans l'intégration de l'équation logistique avec la méthode de Runge Kutta d'ordre 4 et  $h = 0.4$ . Noter la diminution de l'erreur maximale d'un facteur 2000 environ par rapport à la méthode d'Euler pour un même pas.

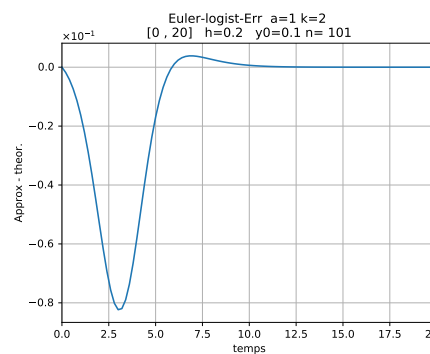


FIGURE 7: Erreur avec la méthode d'Euler et  $h = 0.2$ . Diviser le pas par 2 divise l'erreur maximale par 2.

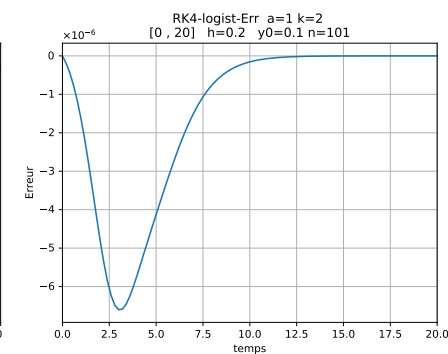


FIGURE 8: Erreur avec la méthode RK4 et  $h = 0.2$ . Diviser le pas par 2 divise l'erreur maximale par  $2^4 = 16$ .

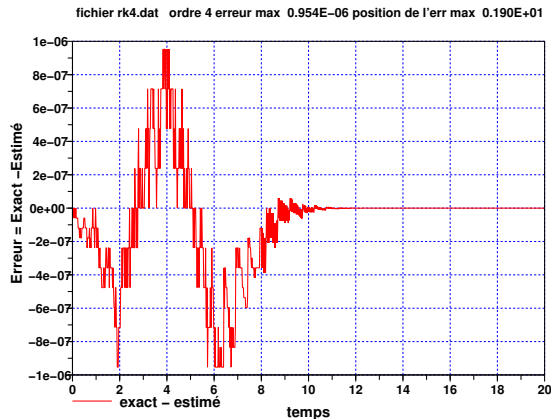


FIGURE 9: Erreur avec des **flottants sur 32 bits** avec la méthode de Runge Kutta d'ordre 4 pour  $h = 0,02$ . L'allure **bruitée** est caractéristique de l'**erreur d'arrondi** et on retrouve les niveaux de quantification des réels sur 32 bits ( $\epsilon_{32} \approx 1,2 \times 10^{-7}$ ).  
**En python, par défaut les float sont sur 64 bits** ( $\epsilon_{64} \approx 2,2 \times 10^{-16}$ ), donc l'erreur d'arrondi est négligeable avec ce pas.

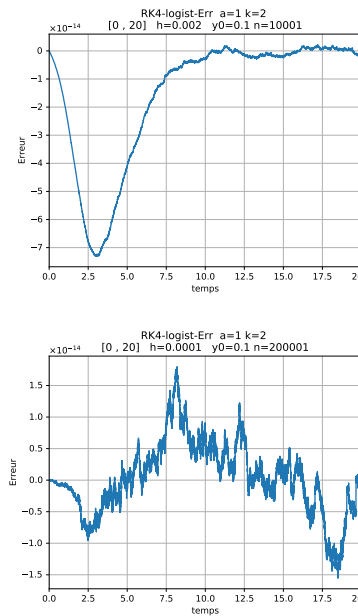
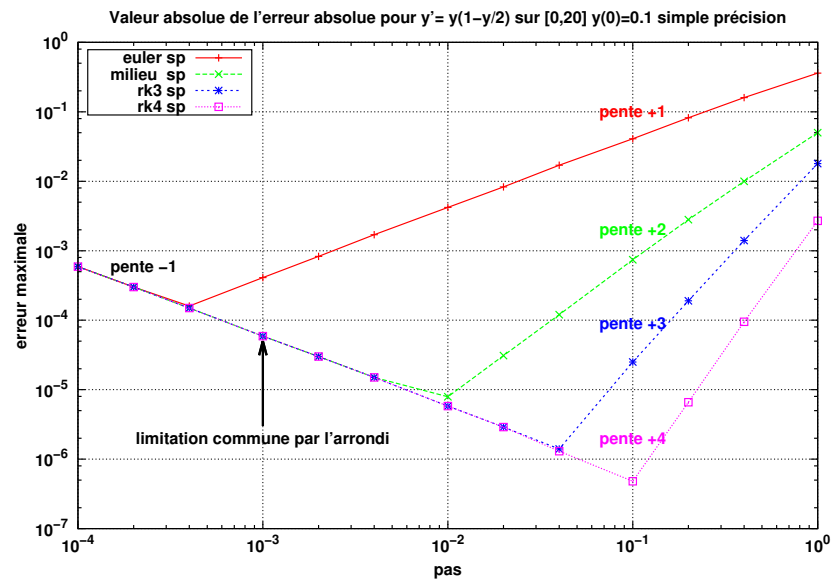


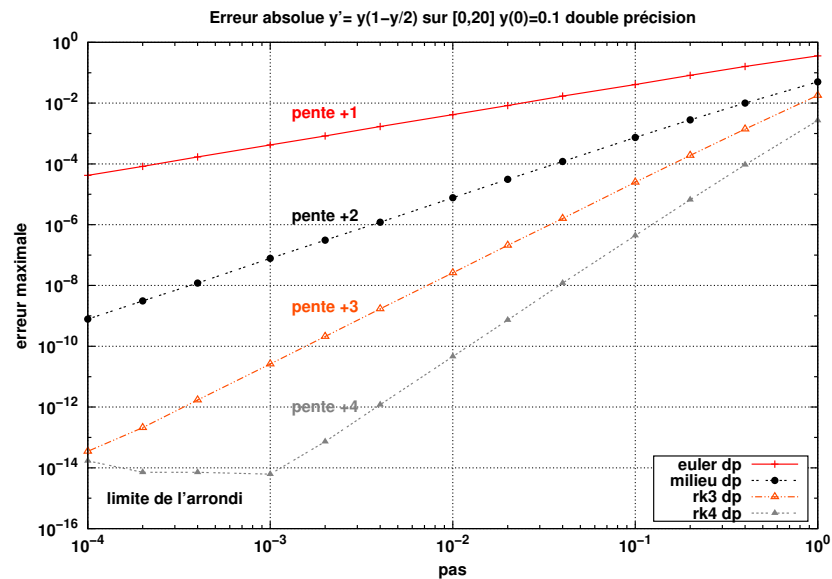
FIGURE 10: Erreurs avec la méthode RK4 en flottants 64 bits pour 3 valeurs du pas  $h$ .

$h=0,002$  : l'erreur de troncature domine encore, mais on voit poindre l'arrondi.  
 $h=0,001$  : l'erreur est dominée par l'arrondi et passe par un minimum pour ce pas.  
 $h=0,0001$  : l'erreur d'arrondi a commencé à croître quand le pas diminue.

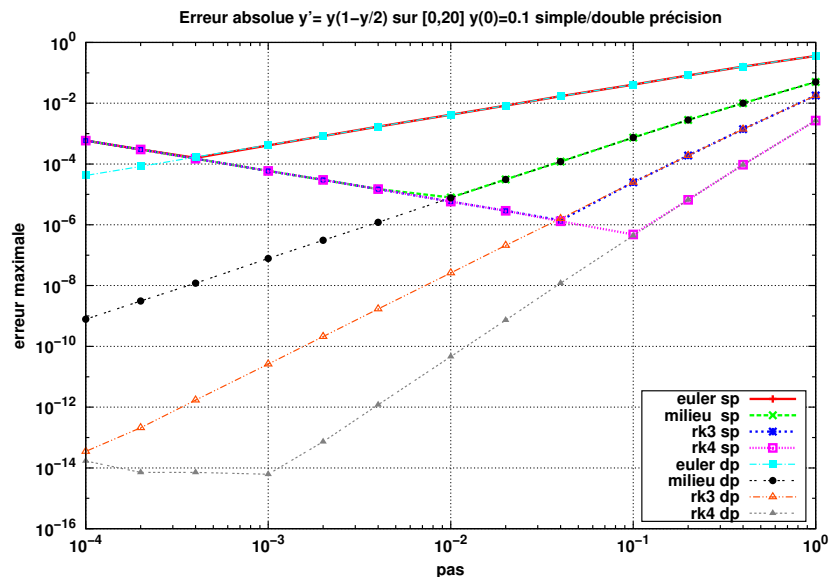
### 4.5.2 Erreur totale maximale en simple précision (32 bits) en fonction du pas



### 4.5.3 Erreur totale maximale en double précision (64 bits) en fonction du pas



#### 4.5.4 Comparaison des erreurs maximales simple/double précision



M3E

60

2020-2021

M3E

61

2020-2021

EDO

5 Les EDO du premier ordre en pratique

## 5 Les EDO du premier ordre en pratique

### 5.1 Structure des programmes de résolution d'EDO

- 1 un module comportant les différentes **méthodes** (Euler, Point Milieu et RK4) : algorithmes de base s'appliquant à une fonction second membre  $f$  passée en argument permettant d'**avancer d'un pas** dans l'intégration de l'EDO
- 2 un module comportant **les fonctions seconds membres** de l'équation différentielle et les éventuelles solutions analytiques exactes ou approchées
- 3 une fonction d'**intégration** qui choisit la méthode, le second membre, les paramètres (début, fin, pas et conditions initiales par ex.). Elle déclenche et arrête la boucle d'intégration et stocke les résultats dans des tableaux.
- 4 un module d'**utilitaires** notamment pour écrire les résultats dans un fichier et tracer les solutions et les écarts avec l'analytique s'il existe.

M3E

62

2020-2021

M3E

63

2020-2021

### 4.5.5 Méthodes de prédicteur correcteur

**Principe** : bénéficier des qualités d'une méthode implicite mais l'appliquer à une estimation obtenue par une méthode explicite du même ordre (voir Euler modifiée).

- **prédiction** de  $u_{i+1}$  par une méthode **explicite**
- **correction** de  $u_{i+1}$  par une formule **implicite** où  $f(t_{i+1}, y(t_{i+1}))$  a été approximé par la prédiction  $f(t_{i+1}, u_{i+1})$ .

Exemple : méthode d'Euler modifiée

Une itération de la partie correction est possible.

L'ordre est celui du correcteur, mais la stabilité dépend plus du prédicteur.

Ces méthodes permettent d'**estimer l'erreur de troncature** à partir de la différence entre prédicteur et correcteur  $\implies$  adaptation du pas

Plus généralement, **les méthodes adaptatives** sont celles où on ajuste **localement** le pas aux accidents de la solution pour obtenir une précision imposée.

### 5.2 Échelles de temps et problèmes raides

Ne pas oublier que chaque problème différentiel possède une ou plusieurs **échelles de temps propres** (périodes ou pseudo-périodes, constantes de temps).

La solution ne peut être représentée correctement qu'avec un pas assez inférieur au plus petit de ces temps propres.

Cette analyse impose donc une valeur maximale pour le pas.

Certains problèmes différentiels qualifiés de **raides** comportent des échelles de temps très différentes : leur intégration numérique s'avère délicate et coûteuse (pas faibles pour respecter le temps court, mais nombreux pour accéder au temps long). Il existe des méthodes spécifiques des EDO raides qui ne sont pas présentées ici.

### 5.3 Validation des résultats

#### Validation via une solution analytique d'un problème simplifié

Lorsqu'une solution analytique est disponible (par exemple pour certaines valeurs de paramètres qui permettent de simplifier l'EDO), sa comparaison avec la solution numérique permet de tester la méthode. Le calcul de l'erreur dans le domaine où la troncature domine permet d'extrapoler l'effet d'un changement de pas connaissant l'ordre de la méthode.

#### Validation sans solution analytique

Dans le cas où aucune solution analytique de référence n'est disponible, la validation s'appuie sur les mêmes outils que les méthodes adaptatives :

- diminution du pas (division par 2)
- augmentation de l'ordre de la méthode
- calcul d'invariants (énergie par exemple)

M3E

64

2020-2021

M3E

65

2020-2021

EDO

6 Systèmes d'EDO du 1<sup>er</sup> ordre

EDO

6 Systèmes d'EDO du 1<sup>er</sup> ordre

6.1 Méthodes scalaires explicites

## 6 Systèmes d'équations différentielles du 1<sup>er</sup> ordre

### 6.1 Extension des méthodes scalaires explicites aux vecteurs

Système de  $n$  équations différentielles couplées du premier ordre associées à  $n$  conditions initiales

considérer les vecteurs  $\vec{y}$  et  $\vec{f}$ .

$$\begin{aligned} \frac{dy_1}{dt} &= f_1(t, y_1, y_2, \dots, y_n) \\ \frac{dy_2}{dt} &= f_2(t, y_1, y_2, \dots, y_n) \\ \dots &= \dots \\ \frac{dy_n}{dt} &= f_n(t, y_1, y_2, \dots, y_n) \end{aligned} \quad \text{et} \quad \begin{pmatrix} y_1 \\ y_2 \\ \dots \\ y_n \end{pmatrix} \quad \text{et} \quad \begin{pmatrix} f_1 \\ f_2 \\ \dots \\ f_n \end{pmatrix}$$

M3E

66

2020-2021

M3E

### 5.4 Cas d'un second membre défini par intervalles

Dans le cas où le second membre est défini de façon différente suivant les intervalles de temps, il peut présenter des «accidents» aux bords de ces intervalles (non-dérivabilité, voire discontinuité). Un exemple classique est celui d'un second membre comportant un forçage constant par intervalle, tel un signal carré.

$$\frac{dy}{dt} = f_0(t, y) + h(t) \quad \text{où} \quad h(t) = \begin{cases} +c & \text{si } t \in [nT_0, nT_0 + T_0/2[ \\ -c & \text{si } t \in [nT_0 + T_0/2, nT_0 + T_0[ \end{cases}$$

La solution  $y(t)$  peut être non-dérivable (ou discontinue) en ces instants, tout en restant dérivable (ou continue) à gauche et à droite (voir charge/décharge de condensateur).

Aussi bien analytiquement que numériquement, il faut donc **intégrer l'EDO**

**indépendamment dans chaque intervalle**. La condition finale de l'intervalle de gauche devient la condition initiale de celui de droite.



Éviter absolument un pas d'intégration à cheval sur cette discontinuité.

M3E

65

2020-2021

EDO

6 Systèmes d'EDO du 1<sup>er</sup> ordre

6.1 Méthodes scalaires explicites

Les **méthodes explicites** de résolution des équations différentielles scalaires du premier ordre **s'appliquent aux systèmes**.

$$\frac{d\vec{y}}{dt} = \vec{f}(t, \vec{y})$$

À chaque étape, effectuer les calculs **sur chaque composante**

avant de passer à l'étape suivante : **exemple avec la méthode du point milieu**

**Étape 1 : vecteur des pentes au bord gauche  $t_i$  de l'intervalle  $[t_i, t_i + h]$**

$$\vec{k}_1 = \vec{f}(t_i, \vec{u}_i)$$

$$k_{1,1} = f_1(t_i, u_{i,1}, u_{i,2}, \dots, u_{i,n})$$

$$k_{1,2} = f_2(t_i, u_{i,1}, u_{i,2}, \dots, u_{i,n})$$

$$\dots = \dots$$

$$k_{1,n} = f_n(t_i, u_{i,1}, u_{i,2}, \dots, u_{i,n})$$

avant de calculer...

67

2020-2021

### Étape 2 : vecteur des pentes au point milieu prédit en $t_i + h/2$

$$\vec{k}_2 = \vec{f}(t_i + h/2, \vec{u}_i + \vec{k}_1 h/2)$$

$$\begin{aligned} k_{2,1} &= f_1(t_i + h/2, u_{i,1} + k_{1,1}h/2, u_{i,2} + k_{1,2}h/2, \dots, u_{i,n} + k_{1,n}h/2) \\ k_{2,2} &= f_2(t_i + h/2, u_{i,1} + k_{1,1}h/2, u_{i,2} + k_{1,2}h/2, \dots, u_{i,n} + k_{1,n}h/2) \\ &\dots = \dots \\ k_{2,n} &= f_n(t_i + h/2, u_{i,1} + k_{1,1}h/2, u_{i,2} + k_{1,2}h/2, \dots, u_{i,n} + k_{1,n}h/2) \end{aligned}$$

### Étape 3 : vecteur résultat au bord droit $t_i + h$ de l'intervalle

$$\vec{u}_{i+1} = \vec{u}_i + h \vec{k}_2$$

$$u_{i+1,j} = u_{i,j} + h k_{2,j} \quad 1 \leq j \leq n$$

- la fonction second membre (**func**);
- le vecteur des conditions initiales (**y0**);
- le vecteur (**t**) des instants où la solution doit être évaluée, mais c'est l'intégrateur adaptatif qui choisit le pas de façon optimale.

Le passage des **paramètres** des fonctions second membre se fait avec l'argument optionnel de mot clef **args** sous forme d'un t-uple comme pratiqué en TE.

**scipy.integrate** comporte aussi une interface **plus orientée objet**, la classe **ode** qui permet de choisir les méthodes d'intégration, parmi lesquelles :

- des méthodes **explicites** : par exemple **dopri5** qui utilise des schémas de Runge Kutta d'ordres 5 et 4 ;
- des méthodes **implicites** : par exemple **vode**. Dans ce cas, il vaut mieux fournir la **matrice jacobienne** analytique (argument optionnel **jac**), au lieu de laisser l'intégrateur l'évaluer approximativement par différences finies.

N.B : Les versions les plus récentes de **scipy** privilégient la nouvelle fonction **solve\_ivp** (*solve initial value problem*).

## 6.2 Application des méthodes implicites aux vecteurs

⚠ Les **méthodes implicites** nécessitent de résoudre à chaque pas un système d'équations a priori non linéaires.

Cette résolution numérique se fait de façon itérative, souvent par linéarisation locale

via la **matrice jacobienne**  $\left( \left( \frac{\partial f_i}{\partial y_j} \right) \right)_{1 \leq i, j \leq n}$ .

## 6.3 Outils disponibles sous python

Les outils d'intégration sous python sont regroupés sous **scipy.integrate** et concernent les systèmes d'EDO avec la notation vectorielle.

La fonction **scipy.integrate.odeint** est une interface générale d'intégration qui choisit automatiquement la méthode suivant qu'il s'agit d'**EDO raides ou non**. On lui fournit les arguments obligatoires suivants :

## 6.4 Mise en œuvre vectorielle des méthodes à un pas

- Les méthodes d'intégration doivent fonctionner **quelle que soit la taille  $p$  des vecteurs** qui représentent la solution  $\vec{y}$  et le second membre  $\vec{f}$  de l'EDO.
- C'est le **programme principal qui fixera cette taille**. Il devra donc choisir un second membre de la même dimension.
- Il fixe aussi la condition initiale  $\vec{y}(t_0)$  qui est un **vecteur à  $p$  composantes**.
- La solution approchée est représentée par un tableau 2D :
  - première dimension  **$n$**  : le nombre d'instant
  - la deuxième dimension  **$p$**  : le nombre de composantes de  $\vec{y}$ .
- Les tailles des tableaux des seconds membres effectifs seront héritées du programme principal et **non déclarées explicitement**. Mais seules les  $p$  composantes effectives de  $\vec{f}$  (2 pour Lotka Volterra) seront calculées à partir des  $p$  composantes de  $\vec{y}$ .

### 6.5 Exemple de système non-linéaire couplé du premier ordre : équations de Lotka-Volterra

Deux populations en conflit : modèle **proies** ( $y_1$ ) – **prédateurs** ( $y_2$ )

$a_1 = 1/\tau_1$  = taux de croissance de  $y_1$  (proies) en l'absence de  $y_2$  (prédateurs)

$a_2 = 1/\tau_2$  = taux de décroissance de  $y_2$  (prédateurs) en l'absence de  $y_1$  (proies)

**Termes de couplage non-linéaires** en  $y_1 y_2$  (rencontre des 2 espèces)

$\frac{a_1}{k_2} y_2$  = taux de destruction des **proies** par les **prédateurs**

$\frac{a_2}{k_1} y_1$  = taux de croissance des **prédateurs** au détriment des **proies**

$$\frac{dy_1}{dt} = +a_1 y_1 \left( 1 - \frac{y_2}{k_2} \right) \tag{18a}$$

$$\frac{dy_2}{dt} = -a_2 y_2 \left( 1 - \frac{y_1}{k_1} \right) \tag{18b}$$

Solutions **périodiques**

### Lotka-Volterra : cycle dans le plan de phase

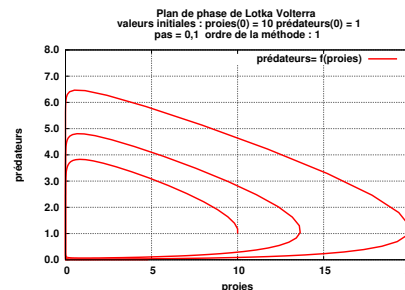
En éliminant le temps, on obtient un **invariant**, donc des solutions périodiques :

$$\frac{dy_2}{dy_1} = -\frac{a_2 y_2}{a_1 y_1} \frac{1 - y_1/k_1}{1 - y_2/k_2} \Rightarrow y_1^{a_2} y_2^{a_1} e^{-a_1 y_2/k_2 - a_2 y_1/k_1} = C_{te}$$

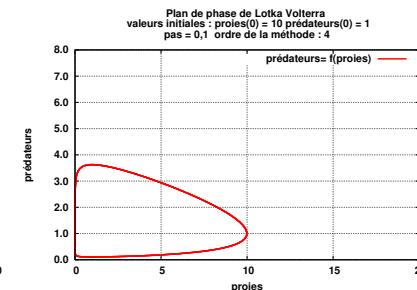
Tangentes horizontales pour  $y_1 = k_1$  (ou  $y_2 = 0$ ) : équilibre des **prédateurs**

Tangentes verticales pour  $y_2 = k_2$  (ou  $y_1 = 0$ ) : équilibre des **proies**

$$k_1 = k_2 = 1, a_1 = 1, a_2 = 0, 2$$



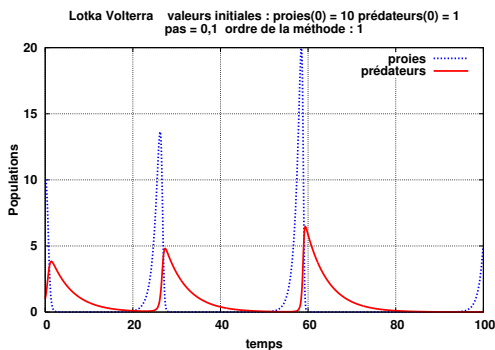
Méthode d'Euler : non périodique



Runge Kutta d'ordre 4 : **cycle correct**

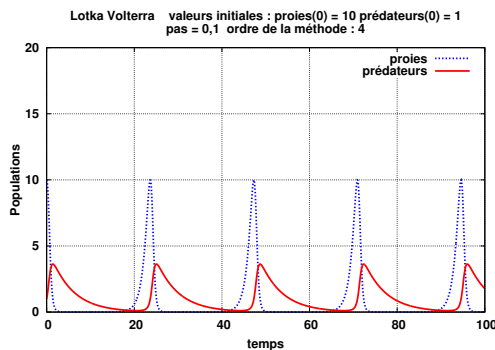
### Résolution numérique de Lotka-Volterra : $k_1 = k_2 = 1, a_1 = 1, a_2 = 0, 2, h = 0, 1$

Échelles linéaires



Méthode d'Euler progressive :

**Les solutions divergent**

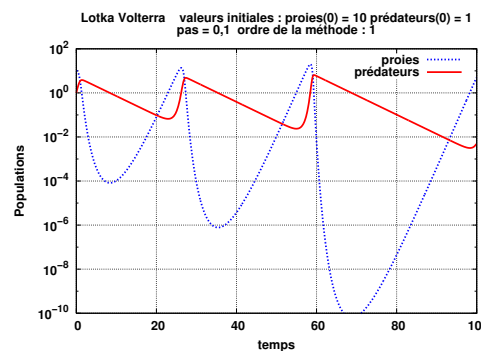


Méthode de Runge Kutta d'ordre 4 :

**Cycle stable**

### Résolution numérique de Lotka-Volterra : $k_1 = k_2 = 1, a_1 = 1$ et $a_2 = 0, 2$ .

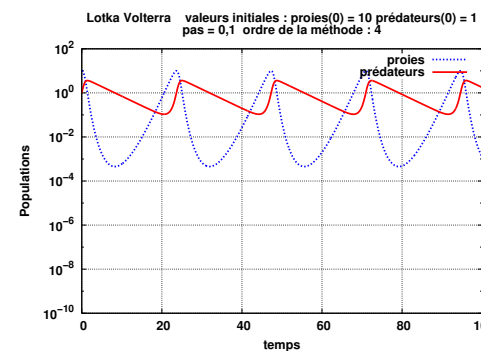
Échelle **log** en ordonnée



Méthode d'Euler progressive : **divergente**

Pente avec peu de proies :  $\frac{d \ln y_2}{dt} \approx -1/\tau_2$  d'où facteur  $e^{-4} \approx 1/54$  sur une durée de  $20 = 4\tau_2$ .

Pente avec peu de prédateurs :  $\frac{d \ln y_1}{dt} \approx 1/\tau_1$  d'où facteur 100 sur durée de  $4,6 = 4,6\tau_1$



Méthode de Runge Kutta d'ordre 4 : **stable**

## 7 Équations différentielles d'ordre supérieur

$$\frac{d^n y}{dt^n} = f\left(t, y, \frac{dy}{dt}, \dots, \frac{d^{n-1}y}{dt^{n-1}}\right)$$

Une EDO scalaire d'ordre  $n$  se ramène à un système de  $n$  équations différentielles du premier ordre couplées en posant :

$$\begin{pmatrix} y_1 \\ y_2 \\ \dots \\ y_n \end{pmatrix} = \begin{pmatrix} y \\ y' \\ \dots \\ y^{(n-1)} \end{pmatrix} \implies \begin{pmatrix} y'_1 \\ y'_2 \\ \dots \\ y'_n \end{pmatrix} = \begin{pmatrix} y_2 \\ y_3 \\ \dots \\ f(t, y_1, y_2, \dots, y_n) \end{pmatrix}$$

### 7.2 Exemple d'EDO d'ordre 2 : le pendule

Pendule avec tige rigide de longueur  $l$  et masse ponctuelle  $m$ .

Pendule **non linéaire** ( $y =$  position angulaire)

$$\frac{d^2 y}{dt^2} = -k^2 \sin(y) \quad \text{où } k^2 = g/l \quad (20)$$

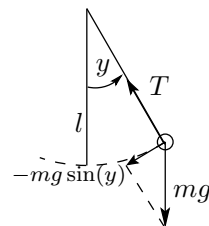
Pendule **linéarisé** (cas des petites amplitudes) :  $\sin(y) \approx y$

$$\frac{d^2 y}{dt^2} = -k^2 y \quad (21)$$

l'équation linéarisée admet une solution analytique en  $A \cos(kt) + B \sin(kt)$ .

Pour les amplitudes assez faibles, une approximation s'appuyant sur un développement au troisième ordre du sinus donne la période  $T$  en fonction de celle  $T_0 = 2\pi/k$  du cas linéaire :

$$T = T_0 \left(1 + \frac{y_{\max}^2}{16}\right) \quad (\text{formule de Borda}) \quad (22)$$



### 7.1 Exemple d'EDO linéaire d'ordre 2 avec forçage

Système linéaire du second ordre avec excitation  $h(t)$

$$\frac{d^2 y}{dt^2} = a \frac{dy}{dt} + by + h(t) \quad (19)$$

Poser

$$\begin{pmatrix} y_1 \\ y_2 \end{pmatrix} = \begin{pmatrix} y \\ y' \end{pmatrix} \implies \begin{pmatrix} y'_1 \\ y'_2 \end{pmatrix} = \begin{pmatrix} y_2 \\ ay_2 + by_1 + h(t) \end{pmatrix}$$

**Condition initiale vectorielle** : position  $y(t_0)$  et vitesse  $y'(t_0)$

**Remarque** Système différentiel d'ordre  $p$  de dimension  $n$   
 $\implies$  système différentiel couplé du premier ordre à  $np$  dimensions.

Exprimer cette EDO du second ordre sous la forme d'un système différentiel couplé de dimension 2 mais du premier ordre.

$$\begin{pmatrix} y_1 \\ y_2 \end{pmatrix} = \begin{pmatrix} y \\ y' \end{pmatrix} \implies \begin{pmatrix} y'_1 \\ y'_2 \end{pmatrix} = \begin{pmatrix} y_2 \\ -k^2 \sin(y_1) \end{pmatrix}$$

On peut alors résoudre numériquement le système non-linéaire, avec pour **vecteur** des conditions initiales :

$$\begin{pmatrix} y_1(0) \\ y_2(0) \end{pmatrix} = \begin{pmatrix} y(0) \\ \frac{dy}{dt}(0) = a \end{pmatrix} = \begin{pmatrix} \text{position angulaire} \\ \text{vitesse angulaire} \end{pmatrix}$$

**Énergie mécanique conservée**, soit, après division par  $ml^2$  :

$$\frac{1}{2} \left( \frac{dy}{dt} \right)^2 + k^2(1 - \cos y) = \text{constante}$$

Invariant qui permet de **diagnostiquer la qualité** de l'intégration numérique.

Cas où  $y(0) = 0$  (départ en position d'équilibre stable)

$$\frac{1}{2} \left( \frac{dy}{dt} \right)^2 + k^2(1 - \cos y) = \frac{1}{2} \left( \frac{dy}{dt}(0) \right)^2$$

Vitesse angulaire minimale pour  $y = \pi$  (position d'équilibre instable si atteinte).

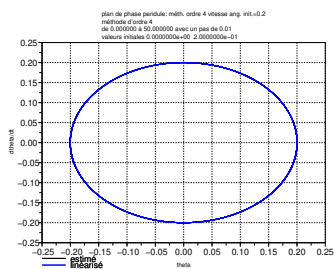
Si  $a = \frac{dy}{dt}(0) > 2k$  (seuil)  $\Rightarrow$  la vitesse angulaire ne s'annule plus : on passe en régime aperiodique, où le pendule tourne toujours dans le même sens.

**Étude numérique** de la **transition périodique-apériodique** attendue pour  $a = 2k$

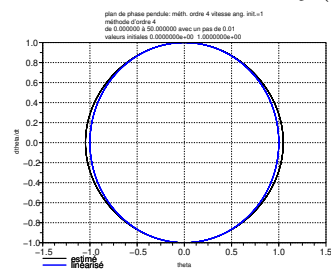
avec les méthodes de Runge Kutta d'ordre 4 et d'Euler

À  $k = 1$  fixé, étude pour les valeurs de  $a : 0,2 ; 1 ; 1,98$  et  $2,02$ .

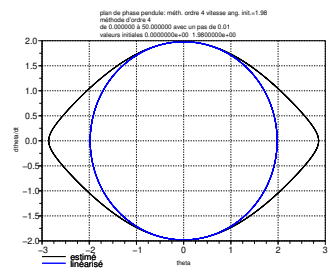
**Comparaisons non-linéaire (RK 4)-analytique linéarisé : plan de phase  $y'(y)$**



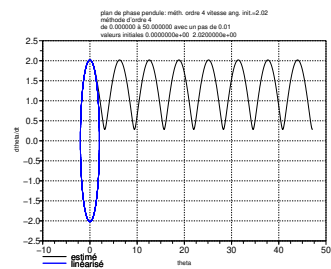
$a = 0.2 \ll 1$  linéarisable



$a = 1$  périodique non sinusoïdal

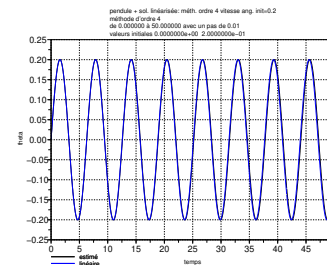


$a = 1.98$  périodique non sinusoïdal

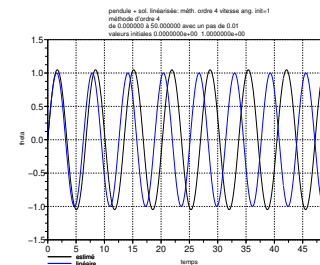


$a = 2.02$  apériodique

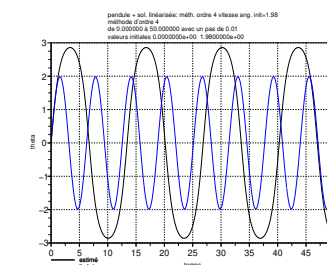
**Comparaisons non-linéaire (Runge-Kutta 4)-analytique linéarisé :  $y(t)$**



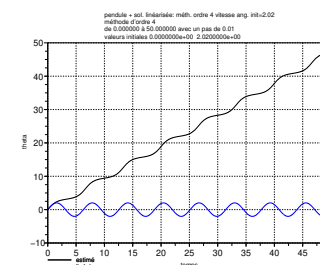
$a = 0.2 \ll 1$  linéarisable



$a = 1$  périodique non sinusoïdal

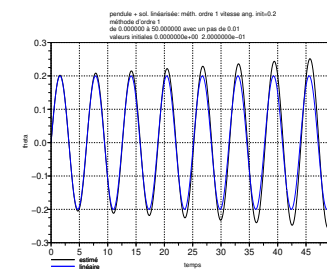


$a = 1.98$  périodique non sinusoïdal

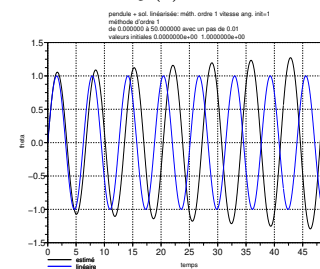


$a = 2.02$  apériodique

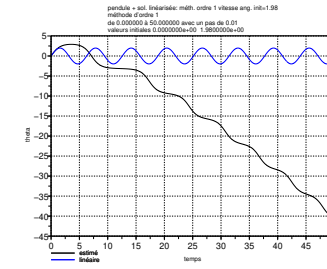
**Comparaisons non-linéaire (Euler)-analytique linéarisé  $y(t)$**



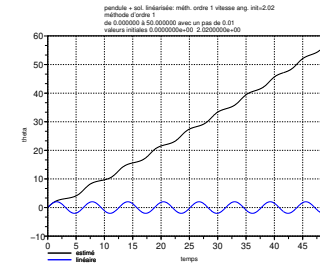
$a = 0.2$



$a = 1$

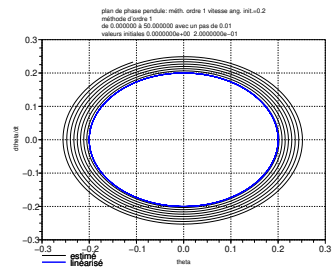


$a = 1.98$  apériodique selon Euler!

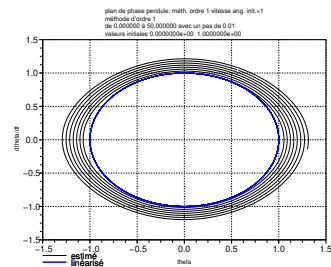


$a = 2.02$

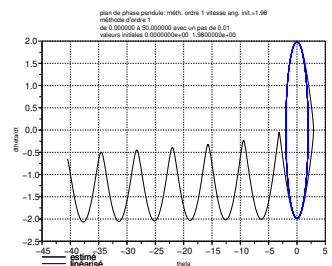
Comparaisons non-linéaire (Euler)–analytique linéarisé : plan de phase  $y'(y)$



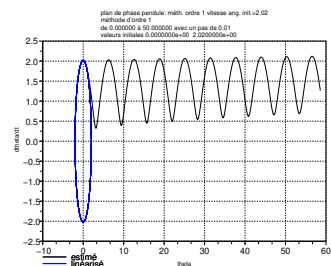
$a = 0.2$  divergence



$a = 1$  divergence



$a = 1.98$  apériodique selon Euler!



$a = 2.02$

7.3 Stabilité à long terme avec Euler progressive et rétrograde

Pendule linéarisé sans frottement représenté dans l'espace des phases : comportement à long terme d'un système non dissipatif

Même méthode sur les 2 composantes (position et vitesse)  $h = 0.025$

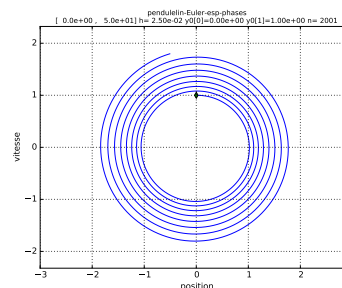


FIGURE 11: Euler progressive : instable, amplification

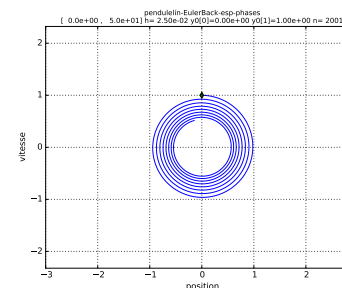


FIGURE 12: Euler rétrograde : stable, contraction

Alternance des méthodes progressive et rétrograde entre position et vitesse

⇒ méthode symplectique conservant mieux l'énergie

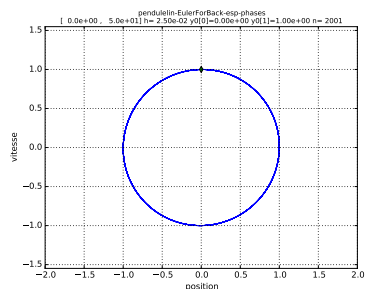


FIGURE 13: Euler mixte  
— progressive sur position,  
— rétrograde sur vitesse.

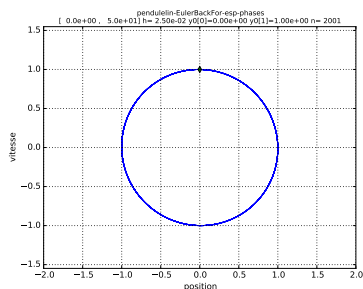


FIGURE 14: Euler mixte  
— rétrograde sur position,  
— progressive sur vitesse.

Références

AKAI, TERRENCE J., *Applied Numerical Methods for Engineers*, 410 pages (Wiley, 1994), ISBN 0-471-57523-2.

BURDEN, RICHARD L. et J. DOUGLAS FAIRES, *Numerical Analysis*, 875 pages (Brooks/Cole, 2011), neuvième édition, ISBN 0-538-73564-3.

DEMAILLY, J.-P., *Analyse numérique et équations différentielles*, 350 pages (EDP Sciences, 2006), troisième édition, ISBN 978-2-86883-891-9.

GUILPIN, CH., *Manuel de calcul numérique appliqué*, 577 pages (EDP Sciences, 1999), ISBN 2-86883-406-X.

RAPPAZ, JACQUES et MARCO PICASSO, *Introduction à l'analyse numérique*, 268 pages (Presses polytechniques et universitaires romandes, 2010), ISBN 978-2-88074-851-7.